

تأثیر امولسیفایرها و صمغ‌های بومی روی تشكیل و برخی ویژگی‌های فیزیکی و رئولوژیکی نانوامولسیون اسانس روغنی پوست پرتقال

عادل میرمجدی^۱، سلیمان عباسی^{۲*}، زهره حمیدی اصفهانی^۲، محمدحسین عزیزی^۳

۱- دانشجوی دکترای علوم و صنایع غذایی دانشگاه تربیت مدرس، دانشکده کشاورزی، گروه علوم و صنایع غذایی

۲- دانشیار، دانشگاه تربیت مدرس، دانشکده کشاورزی، گروه علوم و صنایع غذایی

۳- استاد، دانشگاه تربیت مدرس، دانشکده کشاورزی، گروه علوم و صنایع غذایی

(تاریخ دریافت: ۹۲/۱/۲۷ تاریخ پذیرش: ۹۲/۱۱/۷)

چکیده

در این پژوهش، تأثیر نوع امولسیفایر (Tween 80، Tween 20، Tween 60، Tween 20، کازئینات سدیم، WPC و WPI)، نسبت امولسیفایر (80) به فاز روغنی (اسانس روغنی پوست پرتقال) در هشت سطح (۱، ۱/۵، ۲/۵، ۱/۷۵، ۲/۵، ۲/۲۵، ۲/۷۵ و ۳:۱) و امکان به کارگیری شکل کامل، بخش محلول و نامحلول دو نوع صمغ بومی (صمغ فارسی و کتیرا) به صورت تکی و ترکیبی در فرمولاسیون، بر تشكیل و برخی ویژگی‌های نانوامولسیون‌های تهیه شده از اسانس روغنی پوست پرتقال بررسی شد. برای تولید نانوامولسیون‌ها از روش امولسیون‌سازی با فراصوت استفاده شد و میانگین اندازه قطرات (Z-average)، شاخص بسپاشیدگی (PDI)، گرانزوی، رفتار جریانی نانوامولسیون‌ها، پایداری فیزیکی فرمولاسیون‌های منتخب در دمای ۲۵°C به مدت ۹۰ روز و همچنین مقدار انحرافی مصرفی در طی فرایند بررسی شد. نتایج نشان داد که غلظت امولسیفایر یا نسبت امولسیفایر به فاز روغنی (SOR) تأثیر معنی داری ($P < 0.0001$) بر ویژگی‌های اندازه‌گیری شده داشتند و نمونه‌های تولید شده با نسبت ۱:۲ (امولسیفایر: اسانس) کمترین مقدار Z-average را دارا بودند. در ضمن، امکان حذف امولسیفایر (Tween 80) با جایگزینی آن توسط صمغ‌ها و امولسیفایرهای پروتئینی برای تشكیل نانوامولسیون پایدار میسر نگردید. در ادامه مشخص شد که تنها بخش محلول صمغ فارسی و کتیرا (به صورت تکی و ترکیبی) قابلیت به کارگیری در ساختار و تشكیل نانوامولسیون‌های پایدار را داشتند و حضور آن‌ها در فرمولاسیون تأثیر معنی داری ($P < 0.0001$) بر ویژگی‌های اندازه‌گیری شده داشت. همچنین، رفتار جریانی نانوامولسیون‌های تولید شده نیوتنی بود و تأثیر مدت زمان نگهداری بر مقدار Z-average نمونه‌ها نیز معنی دار بود ($P < 0.0001$).

کلید واژه‌گان: نانوامولسیون، امولسیفایر، صمغ، اسانس روغنی پوست پرتقال، رئولوژی

روش و شرایط تولید و نیز نوع و غلظت ترکیبات تشکیل دهنده آن‌ها می‌باشد [۶، ۷ و ۱۰].

نانوامولسیون‌ها نیز نوعی امولسیون هستند که قطر قطرات آن‌ها در ابعاد نانومتری (به طور معمول در محدوده ۲۰ تا ۲۰۰ نانومتر) بوده و اغلب در منابع علمی تحت عنوانین مینی‌امولسیون، نانوامولسیون، امولسیون‌های فوق‌ریز، امولسیون‌های زیرمیکرون و غیره یاد می‌شوند. نانوامولسیون‌ها به‌واسطه ویژگی اندازه، با چشم غیرمسلح به صورت شفاف و نیمه شفاف قابل مشاهده بوده و به لحاظ پایداری سیستمیکی بالا، گرانزوی کم، شفافیت زیاد، پایداری بالا در برابر پدیده‌های ترسیب، خامه‌ای شدن، بهم پیوستن و فلوكوله شدن برای کاربردهای صنعتی زیادی مورد توجه قرار گرفته‌اند [۱۱ و ۱۲]. روش‌های مختلفی برای تولید نانوامولسیون‌ها وجود دارند که هر یک دارای مزايا و معایبی بوده و هر کدام باعث تولید نانوامولسیون‌هایی با خصوصیات متفاوت می‌شوند [۶، ۷ و ۱۰]. در ضمن، نانوامولسیون‌ها سامانه‌های غیرتعادلی هستند که به صورت خودبُخودی تشکیل نمی‌شوند. بنابراین، اعمال نوعی انرژی، عموماً انرژی حاصل از تجهیزات مکانیکی یا انرژی شیمیایی حاصل از اجزا و ترکیبات، برای تشکیل آن‌ها مورد نیاز است [۶، ۷، ۱۰، ۱۲ و ۱۳]. از جمله روش‌هایی که امروزه برای تهیه نانوامولسیون‌ها مورد توجه قرار گرفته‌اند، استفاده از امواج فراصوت می‌باشد. امواج فراصوت باشد بالا از طریق ظهور اثرات مکانیکی پدیده کاویتاسیون، یعنی ایجاد نیروهای برشی شدید و اعمال فشار و دما قادر به ایجاد تغییر در ویژگی‌های مواد تحت فرایند هستند [۱۴ و ۱۵ و ۱۶]. از جمله مزايا استفاده از این روش در تولید نانوامولسیون‌ها می‌توان به مصرف انرژی کمتر، استفاده از مقادیر کمتر امولسیفایر، تولید امولسیون یکنواخت‌تر با اندازه قطرات کوچکتر، دست‌یابی به حداقل بس‌پاشیدگی و در نتیجه پایداری بیشتر نانوامولسیون، نسبت به سایر روش‌های مکانیکی اشاره کرد [۷، ۱۳، ۱۵ و ۱۶].

همان‌گونه که پیش‌تر نیز گفته شد نوع و غلظت ترکیبات تشکیل دهنده امولسیون‌ها نقش موثر و بهزایی در تعیین ویژگی‌های آن‌ها دارند. بنابراین، برای بهبود ویژگی‌های فیزیکی، رئولوژیکی و پایداری نانوامولسیون‌ها، انتخاب نوع ترکیبات و همچنین نسبت به کارگیری آن‌ها در فرمولاسیون از جایگاه و اهمیت ویژه‌ای برخوردار است. ساختار اصلی

۱- مقدمه

اسانس روغنی پوست پرتقال یکی از متداول‌ترین و مهم‌ترین اسانس‌های مورد مصرف در صنایع غذایی و دارویی است. شهرت زیاد اسانس روغنی پوست پرتقال به‌دلیل عطر بسیار مطبوع و خوشایند آن است که معطر بودن آن، پذیرش و در نتیجه بهره‌مندی افراد را از خواص درمانی آن آسان کرده است [۱ و ۲]. از ترکیبات عمدۀ اسانس روغنی پوست پرتقال می‌توان به ۹۴٪ لیمونن (Limonen)، ۲٪ میرسن (myrcene)، ۵٪ لینالool (Linalool)، ۰٪ اکتانال (Octanal)، ۰٪ دکانال (Decanal)، ۱٪ نزال (Neral)، ۱٪ جناریال (Geraniol) و... اشاره کرد [۳].

به‌دلیل عطر ویژه و قیمت پایین، استفاده از چنین ترکیبی همواره مطلوب صنایع غذایی بوده، اما کاربرد آن با مشکلاتی همچون عدم سازگاری و انحلال‌پذیری در اکثر محیط‌های غذایی، فرار بودن و ناپایداری در طول فرآوری و نگهداری فرآورده همراه بوده است. لذا، یافتن راه‌کارهایی برای افزایش پایداری این اسانس روغنی در محیط‌های غذایی و کنترل رهایش آن در زمان مورد نیاز اهمیت بهزایی دارد. در این راستا، به‌نظر می‌رسد که فناوری ساخت امولسیون یکی از مهم‌ترین فرآیندها برای افزایش حلالت، نانوکپسوله کردن و محافظت این ترکیبات باشد [۴].

امولسیون‌ها، تعلیق‌های کلوئیدی ناهمگنی هستند که از اختلاط دو مایع غیرقابل امتصاص تشکیل می‌شوند. این سامانه‌ها از نظر ترمودینامیکی نامتعادل بوده و ممکن است به تدریج پایداری خود را از دست بدهند [۵]. در سامانه‌های امولسیونی، ویژگی‌هایی مانند پایداری، رئولوژی، ظاهر، رنگ و بافت بستگی به اندازه قطرات و توزیع اندازه قطرات آن‌ها دارد [۶ و ۷]. بنابراین، پایش، پیش‌بینی، اندازه‌گیری و گزارش اندازه قطرات امولسیون اهمیت ویژه‌ای داشته و بدین منظور از روش‌ها و دستگاه‌های مختلفی استفاده می‌شود. در این راستا، Dynamic light scattering، روش پراش نوری پویا (DLS) یکی از فناوری‌های اخیر بوده که برای تعیین اندازه ذرات در محدوده چند نانومتر تا میکرون و همچنین اندازه‌گیری پتانسیل زتا برای ارزیابی ثبات و پایداری بالقوه سامانه‌های کلوئیدی به کار می‌رود [۸ و ۹]. به‌طورکلی، اندازه قطرات امولسیون‌ها به عوامل متعددی وابسته است که مهم‌ترین آن‌ها،

علمی در برخی از زمینه‌ها، به ویژه در خصوص عوامل موثر بر تشکیل نانومولسیون‌های روغن در آب انسان‌های روغنی با بهره‌گیری از فناوری فرا صوت، تحقیق در این زمینه‌ها یک نیاز ضروری تلقی می‌گردد. از اینرو، در پژوهش حاضر سعی شد تا تاثیر نوع و غلظت امولسیفایر و نیز امکان به کار گیری صمغ‌های فارسی و کثیرا بر تشکیل و برخی ویژگی‌های فیزیکی، رئولوژیکی و پایداری نانومولسیون انسان روغنی پوست پرتقال و همچنین، مقدار انرژی مصرفی در هین فرایند امولسیون‌سازی ارزیابی شود.

۲- مواد و روش‌ها

٢-١- مواد

اسانس روغنی پوست پرقال از شرکت گیاه انسانس (گرگان، ایران) در زمستان سال ۱۳۹۰ تهیه شد. امولسیفایرهای کوچک، مولکول (Tween 80 و Tween 20)، کازئینات سدیم (حاوی ۹۰٪ پروتئین)، کنسانتره پروتئینی آب WPC، Simplesse 100 و پنیر (۵۳٪ پروتئین) و ایزوله پروتئینی آب پنیر (WPI، BiPRO)، حاوی ۹۷٪ پروتئین) به ترتیب از کارخانه مواد شیمیایی Merck آلمان، شرکت CP Kelco آلمان، شرکت Sigma-Aldrich دانمارک و شرکت Davisco آمریکا تهیه شدند. همچنین، صمغ فارسی و کتیرا نیز از فروشگاه‌های عطاری سنتی خریداری شدند. برای تهیه کلیه محلول‌ها از آب دیونیزه استفاده گردید.

۲-۲- تهیه پودر صمغ کتیرا و صمغ فارسی

کثیرا از نوع نواری، با ظاهری شفاف متمایل به زرد کم رنگ، و
بنیز کلوجههای صمع فارسی به وسیله آسیاب خانگی
Moulinex ساخت کشور فرانسه پودر شدند و پس از
عبور دادن از سری الکها (شرکت الک آزمایشگاهی دماوند،
تهران)، ذرات زیر مش ۶۰ جمیع آوری و در طرف دربسته نگه-
داری شدند.
[۲۱] [۲۰]

۲-۳- تهیه پر اکنش صمغ فارسی

برای تهیه پرائکنش صمغ فارسی، پودر صمغ به میزان لازم برای تهیه محلول ۳ درصد وزنی -وزنی توسط ترازو (Tecator) ساخت کشور سوئیس) توزین شد و به تدریج به بشر حاوی آب دینبند که دوی همزن معناطصی (Heidolph-MR

نانومولسیون‌ها از آب، فاز روغنی و امولسیفایر تشکیل می‌شود [۱۰]. با این وجود، ممکن است در برخی از فرمولاسیون‌ها به-منظور بهبود برخی ویژگی‌های فیزیکی از هیدروکلوریدها نیز استفاده شود. در این راستا، نوع و غلظت امولسیفایر یکی از مهم‌ترین عوامل موثر بر ویژگی‌های سامانه‌های نانومولسیونی می‌باشد. برای مثال، در همین ارتباط تاثیر امولسیفایرهای کوچک و بزرگ مولکول روی خصوصیات نانومولسیون‌های بتاکاروتن تهیه شده با همگن‌ساز فشار بالا توسط مالو و همکاران [۹] مورد بررسی قرار گرفت. نتایج آن‌ها نشان داد که تاثیر امولسیفایرهای کوچک مولکول مانند Tween 20 و داکلیسرول منو لورات نسبت به امولسیفایرهای بزرگ مولکول پروتئینی و پلی‌ساقاریدی در کاهش اندازه قطرات بیشتر بود. همکاران [۱۷] نیز در تحقیقی مشابه دریافتند که نانومولسیون‌های روغن ذرت تهیه شده با سورفاکانت‌های کوچک مولکول در مقایسه با نمونه‌های تولید شده با پروتئین-ها، اندازه قطرات کوچکتری داشتند. اصولاً، شکل‌گیری قطرات نانومولسیون به‌واسطه برهم‌کنش دو پدیده، یعنی شکستن قطرات و دیگری، بهم پیوستگی قطرات تشکیل شده کنترل می‌شود. در این میان، نرخ بهم پیوستگی قطرات توسط فعالیت سطحی و غلظت امولسیفایر تعیین می‌شود [۱۶]. همچنین، نتایج تحقیقات جعفری [۱۸]، لای [۱۶] و رائو و همکاران [۱۴] نیز نشان دادند که ضمن موثر بودن نوع امولسیفایر روی ویژگی‌های امولسیون‌ها، برای هر سامانه امولسیونی به غلظت بهینه‌ای از امولسیفایر نیاز است و افزایش بیش از اندازه آن منجر به رشد اندازه قطرات و متعاقباً کاهش

اخیراً به دلیل تعایل و توجه زیاد مصرف کنندگان مواد غذایی به کاهش افروزدنی‌های غذایی از محصولات غذایی فرموله شده، پرداختن به موضوع امکان‌سنجی جایگزینی افروزدنی‌ها با مواد طبیعی، اهمیت ویژه‌ای یافته است. در این خصوص، با توجه به ماهیت عملکردی برخی از صمغ‌های بومی مانند صمغ فارسی و کنیار، به ویژه توانایی آن‌ها به عنوان عامل امولسیون-کننده و پایدارکننده امولسیون، انتظار می‌رود که در صورت امکان به کارگیری آن‌ها در ساختار نانوامولسیون‌ها، بتوان برخی از ویژگی‌های سامانه‌های نانوامولسیونی را بهبود بخشید [۱۹]. با توجه به علاوه‌مندی روز افزون در زمینه بهبود ویژگی‌های سامانه‌های نانوامولسیونی در چند سال اخیر و کمبود مستندات

مرحله مخلوط کردن به صورت تدریجی و یکنواخت انجام شد. عملیات همزدن با استفاده از همزن مغناطیسی، به مدت یک ساعت در دمای محیط انجام گرفت تا محلول‌های یکنواختی حاصل گردد. سپس برای جذب کامل آب، محلول‌ها به مدت ۲۴ ساعت در دمای یخچال نگهداری شدند [۱۷ و ۱۸].

۷-۲- روش تهیه نانوامولسیون‌ها

به‌منظور بررسی تاثیر نوع و غلظت امولسیفایر بر برخی ویژگی‌های سامانه‌های نانوامولسیونی، فرمولاسیون‌هایی حاوی ۱٪ اسانس و نسبت‌های مختلف انواع امولسیفایر (Tween 20، Tween 60، Tween 80) به اسانس (۱، ۱/۵، ۱/۷۵، ۲، ۲/۵، ۲/۲۵ و ۳:۱) تهیه شدند. همچنین، به‌منظور ارزیابی امکان جایگزینی صمغ‌ها به‌جای سورفاکانت‌های کوچک مولکول و نیز امکان‌سنجی به‌کارگیری آن‌ها در ساختارهای نانوامولسیونی، فرمولاسیون‌های متعددی حاوی "اسانس و امولسیفایر ۸۰" (Tween 80)، "اسانس و محلول کامل صمغ‌ها به‌صورت تکی و ترکیبی"، "اسانس و فازهای محلول هر یک از صمغ‌ها به‌صورت تکی و ترکیبی"، "اسانس و فازهای نامحلول هر یک از صمغ‌ها به‌صورت تکی و ترکیبی" و نیز "اسانس، امولسیفایر ۸۰" و هر یک از صمغ‌ها (به شکل‌های کامل، بخش محلول و نامحلول) به‌صورت تکی و ترکیبی" تهیه شدند. در این راستا، نمونه‌های امولسیونی روغن در آب با استفاده از اسانس روغنی پوست پرتقال به عنوان فاز روغنی و محلول هر یک از امولسیفایرها، یا محلول هر یک از صمغ‌ها (به شکل‌های کامل، بخش محلول و نامحلول) به‌صورت تکی و ترکیبی، یا محلول متشکل از Tween 80 و هر یک از صمغ‌ها (در اشکال مذکور) به صورت تکی و ترکیبی به عنوان فاز آبی تهیه شدند. همه تعلیق‌های کلوئیدی آماده شده حاوی ۱٪ اسانس و ۹۹٪ فاز آبی بودند.

همه نمونه‌های امولسیونی طی دو مرحله آماده شدند. ابتدا، فازهای آبی و روغنی به نسبت‌های مذکور در داخل یک پسر شیشه‌ای در دمای اتاق به کمک یک همزن مغناطیسی به مدت ۱۵ دقیقه و با سرعت ۷۰۰ دور بر دقیقه مخلوط شدند. سپس به‌منظور تهیه نانوامولسیون، از یک دستگاه مولد امواج فرماصوت Misonix، مدل ۴۰۰۰، فرکانس ۲۰ کیلو هرتز، ساخت

3001، ساخت کشور آلمان) قرار داشت اضافه شد تا پراکنش یکنواختی حاصل گردد. به‌منظور جلوگیری از فساد میکروبی، مقدار ۰/۰۰۴٪ سدیم آزاید به پراکنش حاصل اضافه شد. سپس برای جذب کامل آب، پراکنش به مدت ۳۰ دقیقه در حمام آب گرم (Kottermann)، ساخت کشور آلمان) در دمای ۵۰ درجه سانتی‌گراد نگهداری شد [۲۱].

۲-۴- تهیه پراکنش صمغ کتیرا

برای تهیه پراکنش ۰/۵ درصد وزنی- وزنی، پودر کتیرا به میزان لازم توسط ترازو (Tecator)، ساخت کشور سوئیس) توزین شد. برای جلوگیری از ایجاد کلوخه‌های ریز به هنگام حل کردن پودر کتیرا در آب، مرحله مخلوط کردن به‌صورت تدریجی و یکنواخت انجام شد. بدین منظور پودر کتیرا به‌طور تدریجی و پیوسته به بشر حاوی آب دیونیزه که روی همزن مغناطیسی (Heidolph-MR 3001) قرار داشت اضافه شد تا پراکنش شفاف و یکنواختی حاصل گردد. برای جلوگیری از فساد میکروبی، مقدار ۰/۰۰۴٪ سدیم آزاید به پراکنش حاصل اضافه شد. سپس برای جذب کامل آب، پراکنش به مدت ۲۴ ساعت در دمای محیط نگهداری شد [۲۰].

۲-۵- جداسازی بخش‌های محلول و نامحلول صمغ فارسی و کتیرا

در این مرحله، پراکنش‌های آماده شده هر یک از صمغ‌ها به فالکون‌های پلاستیکی ۵۰ میلی‌لیتری منتقل شدند. سپس بخش‌های محلول و نامحلول آن‌ها با استفاده از سانتریفیوژ Sigma، مدل K ۳-۳۰، ساخت کشور آلمان)، در شتاب ۲۰۰۰۰ روتا (روتا ۲۰۰۰۰) به مدت ۲۰ دقیقه و در دمای ۲۵ درجه سانتی‌گراد جداسازی شدند. در مرحله بعد، هر یک از بخش‌ها به‌طور دستی جداسازی و پس از اندازه‌گیری وزن فازها، میزان ماده خشک آن‌ها توسط آون (EHERET، مدل TKL 4105) ساخت کشور آلمان) در دمای ۱۰۵ درجه سانتی‌گراد تعیین شد [۲۰ و ۲۱].

۶-۲- تهیه محلول امولسیفایرهای پروتئینی

محلول‌های کازینات سدیم، WPC و WPI در غلظت‌های مورد نظر تهیه شدند. برای جلوگیری از ایجاد کلوخه‌های ریز به هنگام حل کردن پودر هر یک از این مواد در آب دیونیزه،

میانگین اندازه قطرات گزارش می‌گردد. همچنین، شاخص بسپاشیدگی (Polydispersity index, PDI) با توجه به منحنی توزیع اندازه ذرات توسط نرم افزار دستگاه محاسبه و به عنوان توزیع اندازه قطرات گزارش می‌شود. این شاخص به صورت یک عدد بدون بعد در محدوده ۰ تا ۱ بیان می‌شود. چنانچه همه قطرات یک امولسیون دارای یک اندازه باشند، مقدار عددی این شاخص کوچکتر بوده و نشان دهنده حالت تک تعییقی یا همگن بودن محیط امولسیون می‌باشد، در صورتی که وجود دامنه‌ای از قطرات با اندازه‌های مختلف منجر به بزرگتر شدن آن شده و بیانگر حالت چند تعییقی یا گسترده بودن توزیع اندازه ذرات سامانه می‌باشد [۸، ۹ و ۱۶-۱۹].

۲-۹- اندازه‌گیری‌های رئولوژیکی

به منظور بررسی رفتار رئولوژیکی نانومولسیون‌های تهیه شده از گرانزوی سنج دورانی (Brookfield, مدل LVDV-III)، Ultra، ساخت کشور آمریکا) استفاده گردید. با استفاده از این نوع گرانزوی سنج که مجهز به سیستم UL Adapter (متخصص اندازه‌گیری گرانزوی‌های بسیار کم) بود، تنش برشی به عنوان تابعی از سرعت برشی اندازه‌گیری گردید. دمای اطراف ظرف حاوی نمونه نیز توسط سیرکولاتور در دمای ۲۵ درجه سانتی-گراد حفظ شد. برای اندازه‌گیری تنش برشی و گرانزوی به صورت تابعی از سرعت برشی و همچنین تعیین نوع رفتار جریانی نمونه‌ها از روش افزایش و کاهش شیبدار سرعت برشی (Speed ramp) استفاده شد. برای این منظور در فاصله زمانی ۵ دقیقه، سرعت برشی از ۰/۰۱ تا ۱/۷۱ (بر ثانیه) افزایش و طی ۵ دقیقه بعدی از ۱/۷۱ تا ۰/۰۱ (بر ثانیه) کاهش یافت. ضمناً به منظور بررسی واپستگی زمانی نمونه‌ها، تغیرات گرانزوی نسبت به زمان در مدت ۲ دقیقه در سرعت برشی ثابت ۹۱/۷۳ بر ثانیه و دمای ۲۵ درجه سانتی-گراد بررسی گردید [۲۲ و ۲۳].

۲-۱۰- ارزیابی پایداری نانومولسیون‌ها

نانومولسیون‌های تهیه شده به بطری‌های شیشه‌ای ۲۵ میلی‌لیتری با سرپوش پلاستیکی متنقل و در فویل آلومینیومی پیچیده شدند. سپس به مدت ۳ ماه در دمای ثابت ۲۵ درجه سانتی-گراد نگهداری گردیدند. پایداری نمونه‌ها از طریق مشاهده وضعیت ظاهری و نیز با اندازه‌گیری تغیرات حاصل در میانگین اندازه قطرات نانومولسیون‌ها در فواصل زمانی ۳۰ روز، ارزیابی شد.

کشور آمریکا) استفاده شد. در این مرحله، پیش‌مخلط امولسیونی به ظرف ویژه اعمال فراصوت که به شکل یک استوانه دوجداره شیشه‌ای به قطر داخلی ۶۵ و عمق ۹۰ میلی-متر بود، متنقل گردید. انتقال امواج فرراصوت از مبدل پیزوالکتریک به جداره توسط یک سونوترود از جنس تیتانیوم به قطر ۱۹/۱ میلی‌متر که تا عمق ۱ سانتی‌متر زیر سطح پیش‌مخلط غوطه‌ور شده بود، انجام شد. همه فرمولاسیون‌ها تحت شرایط یکسان امولسیون‌سازی با فرراصوت، یعنی شدت فرراصوت ۱۰۰٪، زمان صوت‌دهی ۱۲۰ ثانیه و دمای فرایند ۲۵ درجه سانتی-گراد، قرار گرفتند. به منظور پایش دقیق دمای فرایند در حین صوت‌دهی، در داخل ظرف طراحی شده یک مارپیچ شیشه‌ای نیز تعییه گردید. از اینرو، دمای پیش‌مخلط امولسیونی در طول مدت صوت‌دهی به کمک چرخش مداوم سیال سردکننده (ضد بیخ) در بین دو جداره ظرف و نیز مارپیچ درون آن، در دمای ۲۵ درجه سانتی-گراد حفظ گردید. چرخش سیال سردکننده و پایش دمای ظرف حاوی نمونه توسط دستگاه سیرکولاتور (Lauda، مدل RA8)، ساخت کشور آلمان) انجام شد. در ضمن، مقدار انرژی مصرفی در طی فرایند امولسیون‌سازی به کمک فرراصوت، از روی صفحه نمایش گر دستگاه مولد امواج فرراصوت در خاتمه فرایند خوانده شد.

۲-۸- تعیین پتانسیل زتا، اندازه قطرات و

توزیع اندازه ذرات

پتانسیل زتا فرمولاسیون‌های منتخب و نیز اندازه قطرات و توزیع اندازه ذرات نانومولسیون‌های تهیه شده، با استفاده از دستگاه زتسایزر (Malvern, Nano-ZS90)، ساخت کشور انگلستان) مورد اندازه‌گیری قرار گرفت. تعیین اندازه ذرات امولسیون‌ها توسط این دستگاه به کمک روش پراش دینامیکی نور انجام می‌شود که در واقع حرکت براونی ذرات را درون سامانه‌های کلوئیدی اندازه‌گیری می‌نماید. این دستگاه با توجه به سرعت حرکت نانوذرات که رابطه معکوسی با اندازه آن‌ها دارد، قادر است توزیع اندازه نانوذرات را بر حسب میانگین شدت نور متفرق شده (Z-average) به دست آورد. به طوری که هرچه اندازه میانگین شدت نور پراش یافته بزرگتر باشد، یعنی حرکت براونی نانوذرات کمتر بوده است. قطر اندازه‌گیری شده در این روش، قطر هیدرودینامیکی ذرات نامایده شده و میانگین قطر قطرات (Z-average) به عنوان

پژوهشی مشابه دریافتند که نانوامولسیون‌های روغن ذرت تهیه شده با Tween 20 در مقایسه با نمونه‌های تولید شده با کازینات سدیم، اندازه قطرات کوچکتر داشتند و دلیل این امر را مربوط به سیستیک جذب آهسته امولسیفایرها پرتوتینی دانستند [۱۷]. همچنین در تحقیق دیگری که توسط جعفری و همکاران (۲۰۰۷) روی کارایی بیopolymerها در تولید امولسیون‌های زیر میکرون صورت گرفت، مشخص گردید که بیopolymerها پروتینی (WPC) و پلی‌ساقاریدی (نشاسته اصلاح شده، Hi-Cap) در مقایسه با سورفاکtant‌های کوچک مولکول، به علت سیستیک جذب آهسته‌تر از کفایت پایین‌تری برای تولید نانوامولسیون‌ها برخوردار هستند [۱۸]. از طرف دیگر، امکان حذف Tween 80 با جایگزینی آن توسط صمغ فارسی و کتیرا برای تشکیل نانوامولسیون پایدار میسر نگردید. همچنین، در فرمولاسیون‌های حاوی محلول کامل و نیز بخش نامحلول هر یک از صمغ‌ها، پس از گذشت ۴۸ ساعت ناخالصی‌هایی به شکل رسوب یا توده نمایان گردید، در صورتی که در فرمولاسیون‌های حاوی بخش محلول چنین مشکلی مشاهده نشد. در ضمن، ارزیابی‌های اولیه نشان داد که صمغ‌ها فقط به همراه Tween 80 و حداقل در غلظت (W/W) ۰/۲۵٪ موجب تشکیل نانوامولسیون پایدار شدند. در این راستا، با توجه به وضعیت ظاهری و پایداری نمونه‌های تولید شده، فرمولاسیون‌های متعددی (مطابق جدول ۲) برای بررسی تاثیر حضور صمغ‌ها بر خصوصیات سامانه‌های نانوامولسیونی انتخاب شدند.

۲-۳- ویژگی‌های اندازه قطرات و توزیع اندازه آنها

۱-۲-۳- تاثیر غلظت امولسیفایر

نتایج تجزیه و تحلیل آماری نشان داد که تاثیر غلظت امولسیفایر روی میانگین اندازه قطرات (Z-average) و شاخص بس‌پاشیدگی (PDI) نمونه‌های حاصل معنی‌دار بود ($P < 0/0001$). در جدول ۱ اثر غلظت امولسیفایر یا به بیان دیگر نسبت امولسیفایر به انسنس (SOR) بر ویژگی‌های بررسی شده، بر مبنای مقایسه میانگین‌ها نشان داده شده است.

۱۱-۲- روش‌های آماری

این تحقیق در قالب کاملاً تصادفی اجرا و نتایج با استفاده از نرم‌افزار آماری SPPS-16 تجزیه و تحلیل شد. اندازه‌گیری‌های کمی و کیفی در سه تکرار اجرا و میانگین‌ها به روش دانکن در سطح احتمال ۰/۰۵ مقایسه شدند.

۳- نتایج و بحث

۱-۳- وضعیت ظاهری نانوامولسیون‌ها

مطابق شکل ۱ (الف)، ارزیابی وضعیت ظاهری نانوامولسیون‌های تولید شده نشان داد که تشکیل نانوامولسیون انسنس روغنی پوست پرتقال با فرمولاسیون‌های حاوی ۱٪ انسنس و نسبت‌های مختلف Tween 80 به انسنس ($\leq 3 \leq SOR$) امکان‌پذیر بوده و در SOR معادل ۱ و $1/25$ نمونه‌های حاصل، ظاهری نیمه‌شفاف و در $1/5 \geq SOR$ ظاهری کاملاً شفاف داشتند. همچنین، با توجه به نزدیکی نسبت آب دوستی به آب گریزی (عدد HLB) سورفاکtant‌های کوچک مولکول غیریونی (۰/۸۰) Tween 60 و Tween 20 و Tween 60 و Tween 20 نمونه‌های تولید شده از آنها در غلظت و فرایند امولسیون‌سازی یکسان، از نظر ظاهری تفاوت زیادی باهم نداشتند ولی همان‌گونه که در شکل ۱ (ب) دیده می‌شود، نمونه‌های تولید شده با Tween 80 شفاف‌تر بودند. در حالی که، ارزیابی وضعیت ظاهری (شکل‌های ۱ (ج) و ۱ (د)) و میانگین اندازه قطرات نانوامولسیون‌های تولید شده با امولسیفایرها بزرگ مولکول پروتینی (کازینات سدیم، WPC و WPI) نشان داد که این امولسیفایرها در مقایسه با Tween 80 (در غلظت و فرایند امولسیون‌سازی یکسان) قابلیت تشکیل نانوامولسیون‌های پایدار را نداشتند و تنها WPI توانست به صورت ترکیبی با Tween 80 (در نسبت‌های ۱:۱ و ۴:۱:۱:۱) نمونه‌های مطلوب و پایداری تشکیل دهد. در این راستا به نظر می‌رسد، بالاتر بودن وزن مولکولی امولسیفایرها پرتوتینی در مقایسه با سورفاکtant‌های کوچک مولکول منجر به سیستیک جذب آهسته شده و این امر باعث می‌شود که این ترکیبات نتوانند با سرعت مناسبی خود را به سطح قطرات کوچک انسنس رسانده و مانع از به هم پیوستن و امتزاج آنها پس از تشکیل گردند. کیان و مک‌کلمتس (۲۰۱۱) نیز در



شکل ۱ وضعیت ظاهری (الف) نانومولسیون‌های حاوی ۱٪ اسانس و نسبت‌های مختلف Tween 80 از سمت راست به چپ تصویر افزایش یافته است. (ب) نمونه‌های تولید شده با سورفاکtant‌های کوچک مولکول (از راست به چپ تصویر، Tween 80، Casablanca، Tween 80 و WPI (چپ). (د) نمونه‌های تولید شده با Tween 80 و 60 و 20 (از راست به چپ تصویر، ترکیب Tween 80: WPI در نسبت‌های ۱:۴، ۱:۲ و ۱:۱ و به تنها). (ج) راست به چپ تصویر، ترکیب Tween 80: WPI در نسبت‌های ۱:۴، ۱:۲ و ۱:۱ و به تنها)

جدول ۱ مقایسه تاثیر نسبت امولسیفایر به اسانس (SOR) روی میانگین اندازه قطرات، شاخص بسپاشیدگی و گرانزوی نانومولسیون اسانس روغنی پوست پرتقال و مقدار انرژی مصرفی در حین فرایند.

SOR	گرانزوی (میلی پاسکال. ثانیه)	PDI	Z-average (نانومتر)	ویژگی
۱	۱/۲۱۵ ^a	۰/۲۹۱ ^a	۵۷/۵۰۵ ^f	
۱/۵	۱/۲۱۰ ^a	۰/۴۲۷ ^b	۳۳/۷۵۵ ^e	
۱/۷۵	۱/۲۱۵ ^a	۰/۴۵۳ ^c	۲۷/۱۱۵ ^d	
۲	۱/۲۳۵ ^b	۰/۴۷۳ ^d	۱۷/۲۹۰ ^a	
۲/۲۵	۱/۲۴۰ ^b	۰/۵۰۷ ^{ef}	۲۰/۹۲۵ ^c	
۲/۵	۱/۲۴۰ ^b	۰/۵۱۹ ^f	۲۱/۱۰۰ ^c	
۲/۷۵	۱/۲۴۵ ^b	۰/۵۱۳ ^f	۱۹/۵۶۵ ^b	
۳	۱/۳۶۵ ^c	۰/۴۸۹ ^{de}	۱۹/۵۴۵ ^b	

حروف متفاوت نشان دهنده اختلاف معنی دار در سطح ۰/۰۵ می باشند.

average را دارند و اختلاف آنها در سطح ۰/۰۵ معنی دار است. اصولاً برای هر سامانه امولسیونی به غلطت بهینه‌ای از امولسیفایر نیاز است. نتایج تحقیقات جعفری و همکاران

همان طور که مشاهده می شود از نظر Z-average نمونه‌های تهیه شده با نسبت ۲ برابری امولسیفایر کمترین و نمونه‌های تهیه شده با نسبت ۱ برابری امولسیفایر بیشترین مقدار Z-

۳-۲-۲- تاثیر حضور صمغ

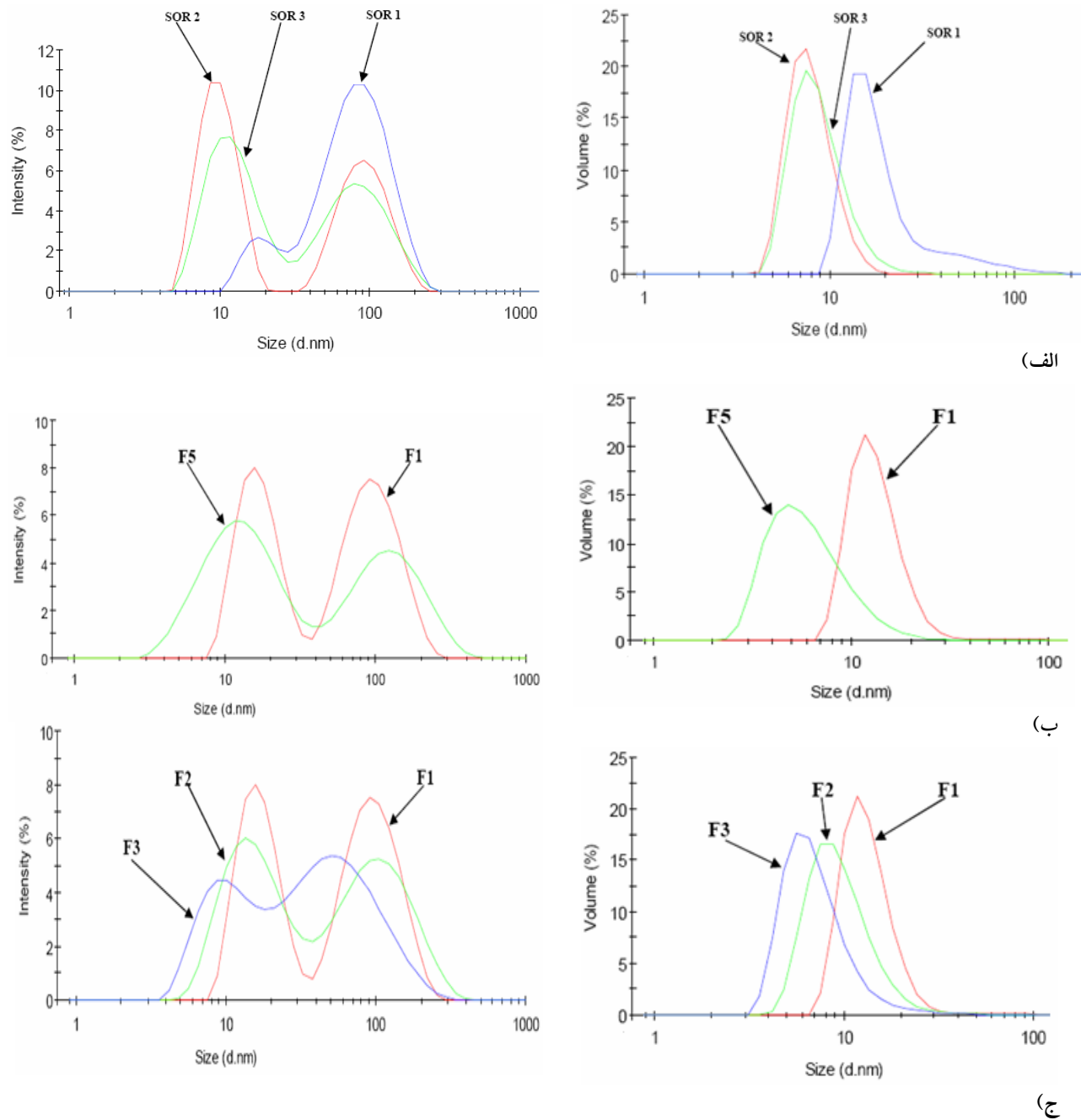
نتایج تجزیه و تحلیل آماری هم نشان داد که تاثیر حضور بخش محلول صمغ فارسی و کثیراً به صورت تکی و ترکیبی در ساختار نانوامولسیون‌های تولید شده روی میانگین اندازه قطرات و شاخص بس‌پاشیدگی نمونه‌های حاصل معنی دار بود ($P<0.0001$). در جدول ۲ اثر حضور بخش محلول صمغ‌ها بر ویژگی‌های بررسی شده، بر مبنای مقایسه میانگین‌ها نشان داده شده است. همان‌گونه که مشاهده می‌شود حضور بخش محلول صمغ‌ها بر ساختار نانوامولسیون‌ها در غلظت مشخص شده منجر به کاهش اندازه قطرات امولسیون گردید و فرمولاسیون شماره ۵ کمترین مقدار و فرمولاسیون شماره ۱ (فاقد صمغ) بیشترین مقدار Z-average را دارا بودند و اختلاف آن‌ها در سطح $105\text{ }\mu\text{m}$ معنی دار بود. همچنین، شکل‌های ۲ (ب) و ۲ (ج) نیز نشان می‌دهند که با حضور صمغ، منحنی توزیع اندازه قطرات نمونه‌های مربوطه به طور مشهودی به سمت چپ نمودار متمایل شده‌اند که بیانگر کاهش Z-average می‌باشد. به نظر می‌رسد کاهش اندازه قطرات به واسطه نقش امولسیفایری فاز محلول هر یک از صمغ‌ها باشد. وقتی که محلولی از امولسیفایرها در سامانه امولسیون حضور داشته باشد، مولکول‌های مختلف برای جذب به سطح مشترک روغن-آب با هم رقابت نموده و کشش بین سطحی را بیشتر کاهش می‌دهند که در نهایت منجر به کاهش اندازه قطرات خواهد شد. از طرف دیگر، حضور مقدار مناسبی از صمغ در ساختار نانوامولسیون به واسطه افزایش گرانزوی فاز پیوسته منجر به کاهش نرخ تصادم قطرات و کاهش انداده قطرات مجدد آن‌ها می‌شود که این امر نیز روی اندازه قطرات امولسیون تاثیرگذار خواهد بود [۱۷ و ۱۸].

نتایج این پژوهش نشان داد که حضور بخش محلول صمغ کثیراً در ساختار نانوامولسیون‌ها (فرمولاسیون F3)، در مقایسه با صمغ فارسی (فرمولاسیون F2) در کاهش اندازه ذرات موثرتر بود.

مقایسه میانگین‌های PDI نیز نشان داد که فرمولاسیون ۱ کمترین و فرمولاسیون ۴ بیشترین مقدار PDI را دارا بودند. به نظر می‌رسد حضور بخش محلول صمغ‌ها در سامانه نانوامولسیونی در افزایش شاخص PDI موثر بوده است.

(۲۰۱۲)، رائو و مک‌کلمتس (۲۰۱۱) و لای و چیانگ (۲۰۱۰) نیز نشان دادند که در تولید امولسیون‌ها به غلظت بهینه‌ای از امولسیفایر نیاز است [۱۶، ۱۴ و ۱۸]. شکل‌گیری قطرات نانوامولسیون به واسطه برهم‌کش دو پدیده، یعنی شکستن قطرات و دیگری، بهم پیوستگی قطرات تشکیل شده کنترل می‌شود. اگرچه فرایند فراصوت نیروی برشی مناسبی را برای شکستن قطرات فراهم می‌سازد، ولی نرخ بهم پیوستگی قطرات توسط فعالیت سطحی و غلظت امولسیفایر تعیین می‌شود [۱۶]. پژوهش‌ها نشان داده‌اند که رابطه نزدیکی بین اندازه قطرات امولسیون و غلظت امولسیفایر وجود دارد. به نظر می‌رسد که در SOR پایین، بدليل اندازه بسیار ریز ذرات انسس و در نتیجه افزایش بیش از حد سطح مشترک، سورفاکتانت کافی برای جذب روی سطح قطرات تازه تشکیل شده، قبل از بهم پیوستگی آنها وجود ندارد و این امر منجر به افزایش اندازه قطرات می‌شود. نتایج این پژوهش نیز نشان داد که افزایش SOR از ۱ تا ۲ به صورت معنی داری منجر به کاهش اندازه قطرات گردید، زیرا قطرات تازه تشکیل شده مقدار امولسیفایر کافی برای پایدار ماندن در اختیار داشتند. با این وجود، مقدار Z-average نمونه‌ها با افزایش SOR از ۲ تا ۳ روند افزایشی نشان داد. همچنین، شکل ۲ (الف) نیز نشان می‌دهد که با افزایش SOR از ۱ تا ۲، منحنی توزیع اندازه قطرات نمونه‌های مربوطه به طور مشهودی به سمت چپ نمودار متمایل شده‌اند که بیانگر کاهش Z-average می‌باشد. از آنجا که مساحت سطح کل قطرات، نرخ نفوذ و جذب سورفاکتانت به سطح قطرات تازه تشکیل شده، به غلظت سورفاکتانت وابسته‌اند، ممکن است سورفاکتانت اضافی منجر به کاهش نرخ نفوذ و در نتیجه بهم پیوستگی قطرات امولسیون گردد [۱۶].

مقایسه میانگین‌های PDI نیز نشان داد که با افزایش SOR، شاخص بس‌پاشیدگی نمونه‌های حاصل روند افزایشی داشتند. به نظر می‌رسد افزایش نسبت امولسیفایر، از یک سو اندازه قطرات امولسیون را کاهش داده و از سوی دیگر حضور امولسیفایر اضافی در سامانه منجر به رشد اندازه قطرات و نیز توزیع اندازه آن‌ها و در نتیجه افزایش شاخص بس‌پاشیدگی شده است.



شکل ۲ نمودارهای توزیع اندازه قطرات بر حسب حجم (راست) و شدت تفرق نور (چپ) (الف) نانوامولسیون‌های حاوی ۱٪ اسانس و نسبت‌های مختلف Tween 80 (SOR) برابر ۱، ۲ و ۳. (ب) فرمولاسیون‌های F1 (بدون صمغ) و F5 (حاوی ۰/۲۵٪ فاز محلول صمغ فارسی و کیمرا بهصورت ترکیبی با نسبت (۷۵:۲۵)). (ج) فرمولاسیون‌های F2 (حاوی فاز محلول صمغ فارسی) و F3 (حاوی فاز محلول کتیرا).

جدول ۲ مقایسه تاثیر حضور صمغ (نوع فرمولاسیون) روی میانگین اندازه قطرات، شاخص بسپاشیدگی و گرانزوی نانوامولسیون اسانس روغنی پوست پرتقال و مقدار انرژی مصرفی در حین فرایند.

نوع فرمولاسیون	ویژگی	Z-average (نومتر)	PDI	گرانزوی (میلی پاسکال ثانیه)	مقدار انرژی مصرفی (ژول)
Tween 80٪/۱٪ اسانس+ (F1)	۳۰/۳۷ ^d	۰/۴۶۴ ^a	۱/۰۳۵ ^a	۱۴۹۹۰ ^a	۱۴۹۹۰ ^a
محول صمغ فارسی (F2) محول صمغ فارسی	۲۵/۳۹ ^c	۰/۵۰۸ ^{b,c}	۱/۴۴۰ ^b	۱۵۵۳۶ ^c	۱۵۵۳۶ ^c
فاز محول کبیرا (F3) فاز محول کبیرا	۲۲/۲۷ ^b	۰/۴۹۹ ^b	۱/۷۶۵ ^c	۱۵۲۷۴ ^b	۱۵۲۷۴ ^b
محول صمغ فارسی و کبیرا به صورت ترکی با نسبت (۵۰:۵۰) (F4) محول صمغ فارسی و کبیرا به صورت ترکی با نسبت (۵۰:۵۰) (F5)	۱۹/۶۱ ^a	۰/۵۳۶ ^d	۱/۹۵۵ ^c	۱۵۴۶۶ ^c	۱۵۴۶۶ ^c
محول صمغ فارسی و کبیرا به صورت ترکی با نسبت (۲۵:۷۵)	۱۹/۴۸ ^a	۰/۵۱۲ ^c	۱/۷۹۵ ^d	۱۵۲۰۸ ^b	۱۵۲۰۸ ^b

حروف متفاوت نشان دهنده اختلاف معنی دار در سطح ۰/۰۵ می باشند.

و ۱۸]. از طرفی مشاهده شد که نقش کثیرا در افزایش گرانزوی به طور معنی داری بیشتر از صمغ فارسی بود.

۲-۳-۳- رفتار جریانی

با توجه به برآش داده های حاصل از شکل ۳ (الف) (نمودار تنش برشی در مقابل سرعت برشی) و نیز معادله برآش شده، مناسب ترین مدل پیش بینی شده به منظور تعیین رفتار جریانی نانوامولسیون ها، مدل نیوتونی بود. همان گونه که در این شکل مشاهده می شود، سرعت برشی با تنش برشی رابطه مستقیم دارد. همچنین مطابق آن چه که در شکل ۳ (ب) قابل مشاهده است، در محدوده جریان آرام، گرانزوی مستقل از سرعت برشی می باشد که حاکی از آن است که محصول رفتار نیوتونی دارد. در ضمن، در نمودار تنش برشی - سرعت برشی نمونه ها، حلقه پس ماند مشاهده نمی گردد. در شکل ۳ (ج) نیز مشاهده می شود که در سرعت برشی ثابت با افزایش زمان برش، گرانزوی ثابت و به عبارتی گرانزوی نمونه ها مستقل از زمان بوده است که در واقع این روند نیز بیانگر رفتار نیوتونی می باشد [۲۲ و ۲۳]. یادآوری می شود که چنین رفتاری در تمامی نمونه ها مشاهده شد. همچنین، تغییر قابل ملاحظه ای در رفتار جریانی نمونه های منتخب پس از سه ماه نگهداری در دمای ۲۵°C مشاهده نگردید.

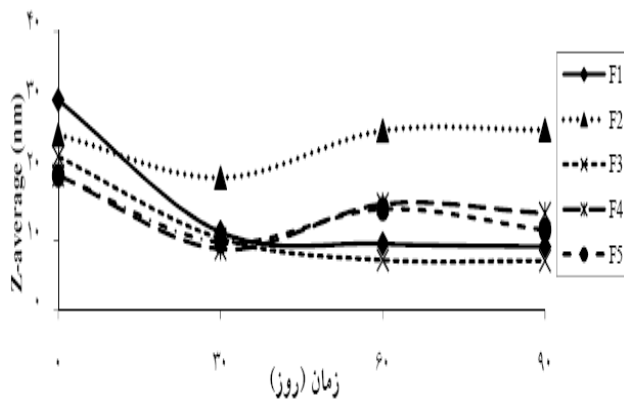
بزرگتر بودن مقدار عددی پتانسیل زتا در فرمولاسیون حاوی صمغ، به معنای وجود نیروی دافعه بیشتر بین قطرات و تمایل کمتر آنها برای بهم چسبیدن است که در این حالت قطرات یکدیگر را دفع نموده و سبب پایدار ماندن سامانه می شود [۹].

۳-۳- ویژگی های رئولوژیکی

۱-۳-۳- گرانزوی

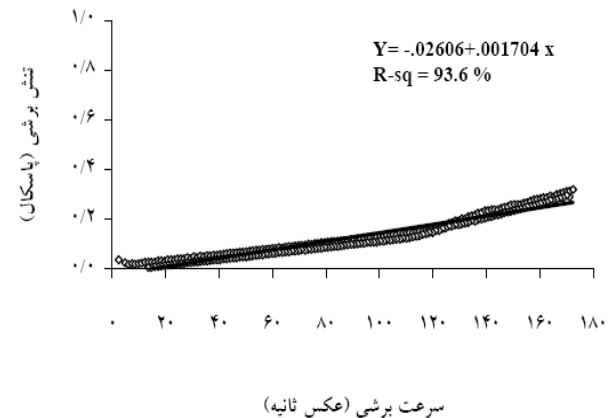
نتایج تجزیه و تحلیل آماری (جدول ۱ و ۲) نشان داد که تاثیر غلاظت امولسیفایر و نیز حضور صمغ روی مقدار گرانزوی نمونه های حاصل معنی دار بود ($P < 0.0001$). همان گونه که مشاهده می شود با افزایش SOR، گرانزوی نمونه ها به مقدار جزئی ولی به صورت معنی دار افزایش یافت. به نظر می رسد که با افزایش نسبت امولسیفایر، جزء وزنی فاز پیوسته امولسیون و متعاقباً گرانزوی آن افزایش یافته و این تغییر منجر به افزایش گرانزوی کل سامانه شده است [۲۲ و ۲۳]. همچنین با حضور صمغ در ساختار نانوامولسیون ها، مقدار گرانزوی به طور معنی دار افزایش یافته است، به طوری که فرمولاسیون ۱ کمترین و فرمولاسیون ۵ بیشترین مقدار گرانزوی را داشتند. به نظر می رسد که این افزایش به واسطه ماهیت عملکردی و قابلیت صمغ ها در افزایش گرانزوی فاز پیوسته امولسیون ها باشد [۱۷]

در کاربردهای تجاری و صنعتی ممکن است تعليق‌های کلوئیدی قبل از مصرف برای مدت زمان‌های متفاوتی نگهداری شوند. بر این اساس، به منظور بررسی تاثیر زمان نگهداری روی پایداری نانوامولسیون‌ها، نمونه‌های تولید شده (فرمولاسیون‌های ۱ تا ۵)، در دمای 25°C به مدت ۳ ماه نگهداری و در فواصل زمانی ۳۰ روز، میانگین اندازه قطرات آن‌ها ارزیابی شد. تجزیه و تحلیل آماری نتایج نشان داد که تاثیر زمان نگهداری بر Z-average نمونه‌ها معنی‌دار ($P < 0.0001$) بود. روند تغییرات Z-average مورد بررسی طی سه ماه نگهداری در دمای 25°C در شکل ۴ نشان داده شده است. همان‌گونه که مشاهده می‌شود، مقدار Z-average نمونه‌های نگهداری شده در طی ۳۰ روز اول، با شبیب بیشتر، روند کاهشی و پس از آن، با شبیب بسیار کمتری، روند افزایشی داشته است. به نظر می‌رسد، روند کاهشی average در طی ۳۰ روز اول به دلیل کاهش تدریجی سد انرژی جنبشی (Kinetic energy barrier) موجود در سامانه باشد که به تبع آن نمونه‌ها تدریجاً به حالت تعادل سیستیکی می‌رسند.

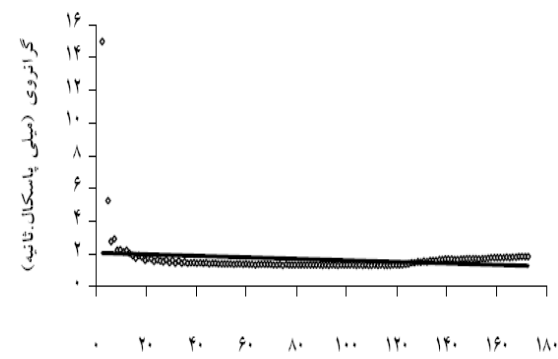


شکل ۴ روند تغییرات میانگین اندازه قطرات فرمولاسیون‌های مورد بررسی طی سه ماه نگهداری در دمای 25°C

گزارش شده است که در سامانه‌های شامل روغن، آب و سورفاکانت در دمای محیط یک سد انرژی جنبشی ناشی از وجود کشش بین سطحی روغن-آب وجود دارد که از رسیدن این سامانه‌ها به بالاترین حالت تعادل سیستیکی جلوگیری می‌نماید. احتمالاً با کاهش این سد در طول زمان، رسیدن سامانه به حالت تعادل سیستیکی افزایش می‌یابد [۱۴]. در حالی که، روند افزایشی Z-average بعد از ۳۰ روز اول، به واسطه تصادم قطرات و نیز پدیده‌هایی از جمله بهم پیوستگی مجدد

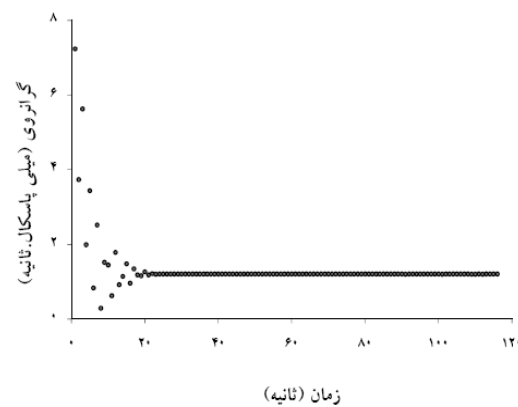


(الف)



سرعت برخشی (عکس ثانیه)

(ب)



زمان (ثانیه)

(ج)

شکل ۳ نمودارهای رفتار جریانی نانوامولسیون‌های انسانس روغنی پوست پرتقال: (الف) تنش برخشی در مقابل سرعت برخشی، (ب) گرانروی در مقابل سرعت برخشی و (ج) گرانروی در مقابل زمان (در دمای 25°C).

۳-۴- پایداری فیزیکی نانوامولسیون‌ها

نانوامولسیون‌های پایدار را داشتند و حضور آن‌ها در فرمولاسیون تاثیر معنی‌داری بر ویژگی‌های اندازه‌گیری شده داشت. همچنین، رفتار جریانی نانوامولسیون‌های تولید شده شبیه رفتار نیوتونی بود و تاثیر مدت زمان نگهداری نیز بر مقدار Z-average نمونه‌ها بسیار معنی‌دار بود.

۵- منابع

- [1] Teixeira, M.I., Andrade, L.R., Farina, M. and Rocha-Leao, M.H.M. 2004. Characterization of short chain fatty acid microcapsules produced by spray drying. *Mater. Sci. Eng.*, C. 24, 653–658.
- [2] Duke, J.A., Bogenschutz-Godwin, M.J., Cellier, J. and Duke, P.A.K. 2002. *Handbook of Medicinal Herbs*. CRC Press. London.
- [3] Ashurst, P.R. 1999. *Food Flavorings*. Aspen Publishers, Inc. Maryland.
- [4] Peter, S., Given, J.R. 2009. Encapsulation of flavors in emulsions for beverages. *Curr. Opin. Colloid Interface Sci.* 14, 43–47.
- [5] Deman, J.M. 1990. *Principles of Food Chemistry*. (2nd Ed). Van Nostrand Reinhold. New York.
- [6] Gutierrez, J.M., Gonzalez, C., Maestro, A., Sole, I., Pey, C.M. and Nolla, J. 2008. Nanoemulsions: New applications and optimization of their preparation. *Curr. Opin. Colloid Interface Sci.* 13, 245–251.
- [7] Tadros, T., Izquierdo, P., Esquena, J. and Solans, C. 2004. Formation and stability of nano-emulsions. *Adv. Colloid Interface Sci.* 108–109, 303–318.
- [8] Tang, S.Y., Manickam, S., Wei, T.K. and Nashiru, B. 2012. Formulation development and optimization of a novel Cremophore EL-based nanoemulsion using ultrasound cavitation. *Ultrason. Sonochem.* 19, 330–345.
- [9] Mao, L., Xu, D., Yang, J., Yuan, F., Gao, Y. and Zhao, J. 2009. Effects of small and large molecule emulsifiers on the characteristics of β -carotene nanoemulsions prepared by high pressure homogenization. *Food Technol. Biotechnol.* 47 (3): 336–342.
- [10] Silva, H.D., Cerqueira, M.N. and Vicente, A.A. 2012. Nanoemulsions for food applications: Development and characterization. *Food Bioprocess Tech.* 5, 854–867.

آن‌ها و رسیدگی استوالد (Ostwald ripening) می‌باشد که متعاقباً منجر به افزایش اندازه قطرات می‌شوند [۱۴ و ۱۸].

۳-۵- تاثیر متغیرهای اعمال شده روی میزان انرژی مصرفی در فرایند امولسیون‌سازی با فراصوت

نتایج تجزیه و تحلیل آماری (جداول ۱ و ۲) نشان داد که تاثیر غلظت امولسیفایر و نیز حضور صمغ روی مقدار انرژی مصرفی در فرایند امولسیون‌سازی با فراصوت معنی‌دار بود ($P<0.001$). همان‌گونه که مشاهده می‌شود، با افزایش SOR و نیز حضور صمغ در ساختار نانوامولسیون‌ها، انرژی بیشتری برای تولید نمونه‌های مریبوطه صرف شده است. همان‌طور که پیش‌تر نیز گفته شد، با افزایش SOR و یا حضور صمغ در فرمولاسیون، گرانزوی فاز پیوسته امولسیون افزایش می‌یابد. از آنجاکه گرانزوی از عوامل موثر بر آستانه حفره‌زایی (کاویتاسیون) در فرایند فراصوت بهشمار می‌رود [۲۴]، لذا پیش‌بینی می‌شود که با زیاد شدن گرانزوی و به تبع آن بالا رفتن آستانه کاویتاسیون، مقدار مصرف انرژی در حین فرایند فراصوت افزایش یابد.

۴- نتیجه‌گیری

یافته‌های این پژوهش نشان دادند که تشکیل نانوامولسیون انس روغنی پوست پرتقال با فرمولاسیون‌های حاوی ۱٪ انس و نسبت‌های مختلف Tween 80 ($1\leq SOR\leq 3$) با بهره‌گیری از روش امولسیون‌سازی با فراصوت امکان‌پذیر است. همچنین، غلظت امولسیفایر تاثیر بسیار معنی‌داری بر ویژگی‌های سامانه‌های نانوامولسیونی داشت. در ضمن، نوع امولسیفایر نیز روی تشکیل نانوامولسیون‌های پایدار تاثیر داشت. به طوری که امکان حذف امولسیفایر (Tween 80) با جایگزینی آن توسط امولسیفایرهای پروتئینی برای تشکیل نانوامولسیون پایدار میسر نگردید و تنها WPI توانست به صورت ترکیبی با Tween 80 نمونه‌های پایداری تشکیل دهد. به علاوه مشاهده شد که امکان تشکیل نانوامولسیون پایدار، تنها با به کارگیری صمغ و بدون حضور امولسیفایر میسر نگردید. همچنین، مشخص شد که تنها بخش محلول صمغ‌های فارسی و کتیرا (به صورت تکی و ترکیبی) به همراه امولسیفایر قابلیت به کارگیری در ساختار و تشکیل

- particle size. *Food Hydrocolloid.* 25, 1000–1008.
- [18] Jafari, S.M., He, Y. and Bhandari, B. 2007. Effectiveness of encapsulating biopolymers to produce sub-micron emulsions by high energy emulsification techniques. *Food Res. Int.* 40, 862–873.
- [19] Mohammadi, S., Abbasi, S. and Hamidi, Z. 2011. Effects of hydrocolloids on physical stability, rheological and sensory properties of milk–orange juice mixture. *Iranian J. Nutr. Sci. and Food Technol.* 5 (4): 1–12. (in Farsi)
- [20] Abbasi, S. and Rahimi, S. 2005. Influence of concentration, temperature, pH, and rotational speed on the flow behavior of Iranian gum tragacanth (Katira) solution. *Iranian J. Food Sci. Technol.* 2 (4): 29–42. (in Farsi)
- [21] Abbasi, S., Mohammadi, S. and Rahimi, S. 2011. Partial substitution of gelatin with Persian gum and use of Olibanum in production of functional pastille. *Iranian J. Biosystems Eng.* 42 (1): 121–131. (in Farsi)
- [22] Barnes, H. A. 2008. *A Handbook of Elementary Rheology.* Abbasi, S. Marz-e-Danesh Publications. Tehran. (in Farsi)
- [23] Bourne, M. C.. 2007. *Food Texture and Viscosity: Concept and Measurement.* Abbasi, S. Marz-e-Danesh Publications. Tehran. (in Farsi)
- [24] Mason, T.J. 1999. *Sonochemistry.* (First Ed). Oxford University Press Inc. New York.
- [11] McClements, D.J. 2005. *Food Emulsions: Principles, Practices, and Techniques.* (2nd Ed). CRC Press, Boca Raton. Florida.
- [12] Solans, C., Izquierdo, P., Nolla, J., Azemar, N. and Garcia-Celma, M.J. 2005. Nano-emulsions. *Curr. Opin. Colloid Interface Sci.* 10, 102–110.
- [13] Jafari, S.M., He, Y. and Bhandari, B. 2007. Production of sub-micron emulsions by ultrasound and microfluidization techniques. *J. Food Eng.* 82, 478–488.
- [14] Rao, J. and McClements, D.J. 2011. Formation of flavor oil microemulsions, nanoemulsions and emulsions: Influence of composition and preparation method. *J. Agric. Food Chem.* 59, 5026–5035.
- [15] Kentish, S., Wooster, T.J., Ashokkumar, M., Balachandran, S., Mawson, R. and Simons, L. 2008. The use of ultrasonics for nanoemulsion preparation. *Innov. Food Sci. Emerg.* 9, 170–175.
- [16] Li, P.H. and Chiang, B.H. 2012. Process optimization and stability of D-limonene-in-water nanoemulsions prepared by ultrasonic emulsification using response surface methodology. *Ultrason. Sonochem.* 19, 192–197.
- [17] Qian, C. and McClements, D.J. 2011. Formation of nanoemulsions stabilized by model food-grade emulsifiers using high-pressure homogenization: Factors affecting

Effect of emulsifiers and local gums on the formation, some physical and rheological properties of orange peel essential oil nanoemulsions

Mir Majidi, A. ¹, Abbasi, S. ^{2*}, Hamidi Esfahani, Z. ², Azizi, M. H. ³

1. PhD student, Department of Food Science and Technology, Faculty of Agriculture, Tarbiat Modares, Tehran–Iran.
2. Associate Prof, Department of Food Science and Technology, Faculty of Agriculture, Tarbiat Modares University, Tehran–Iran.
3. Prof, Department of Food Science and Technology, Faculty of Agriculture, Tarbiat Modares University, Tehran–Iran.

(Received: 92/1/27 Accepted: 92/11/7)

In the present study, the influence of various emulsifiers (Tween 80, Tween 60, Tween 20, Sodium caseinate, WPC and WPI), ratio of emulsifier (Tween 80) to oil phase (orange peel essential oil) at eight levels (1, 1.5, 1.75, 2, 2.25, 2.5, 2.75, and 3:1), and the possibility of using complete form, soluble and insoluble fractions of the two native gums (Persian gum and gum tragacanth) individually and combined in the formulations on the formation and some properties of orange peel essential oil nanoemulsions was evaluated. Ultrasonic emulsification technique was used to produce nanoemulsions and the mean droplet diameter (Z-average), polydispersity index, viscosity, flow behavior, physical stability of selected formulations during storage (up to 90 days at 25°C), as well as the total input energy during process was evaluated. Our results showed that surfactant-to-oil ratio (SOR) had a significant effect on the mentioned properties ($P < 0.0001$) where the lowest Z-average was observed at SOR=2. Meanwhile, none of the local gums and proteins were able to form nanoemulsions in the absence of emulsifier (Tween 80). Moreover, their soluble fractions (individually and combined at reasonably low concentration) showed significant effect ($P < 0.0001$) on the measured properties in the presence of emulsifier. Furthermore, the flow behavior of nanoemulsions was Newtonian, and the effect of storage time on the Z-average value was significant ($P < 0.0001$).

Keywords: Nanoemulsions, Emulsifier, Gum, Orange peel essential oil, Rheology.

* Corresponding Author E-Mail Address: sabbasifood@modares.ac.ir